

HBF<sub>2</sub>



1964

HBF<sub>2</sub>

U. K.

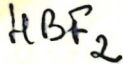
B9 - 4821-1  
B9

Preparation and properties of difluoroborane. T. D. Coyle, J. J. Ritter, and T. C. Farrar (Natl. Bur. of Standards, Washington, D.C.). *Proc. Chem. Soc.* 1964(Jan.), 25. Pyrolysis of di- or tetraborane at 100° in the presence of BF<sub>3</sub> or organoboron fluorides gave small amts. HBF<sub>2</sub>. Treating 45.6 millimoles HB-(OMe)<sub>2</sub> with 90.8 millimoles BF<sub>3</sub> for 30 min. at 0° in a sealed tube gave a white solid, nonvolatile at -80°, and 32.7 millimoles gas, consisting of a mixt. of HBF<sub>2</sub>, BF<sub>3</sub>, and a trace of B<sub>2</sub>H<sub>6</sub>. HBF<sub>2</sub> disproportionated slowly to BF<sub>3</sub> and B<sub>2</sub>H<sub>6</sub> at room temp.; HBF<sub>2</sub> added smoothly to CH<sub>2</sub>:CH<sub>2</sub> at room temp. to give EtBF<sub>2</sub>. The proton magnetic resonance and infrared spectrum of HBF<sub>2</sub> were detd. HBF<sub>2</sub> was monomeric.

C. L. Deasy

C.A. 1964 60 8  
8880a

1964



~~September  
Matthews  
peymane~~

Proton and fluorine nuclear magnetic resonance (N.M.R.) spectra of  $\text{HBF}_2$ . T. C. Farrar and T. D. Coyle (Natl. Bur. of Stds., Washington, D.C.). *J. Chem. Phys.* 41(9), 2612-13 (1964). Proton and F N.M.R. spectra of  $\text{HBF}_2$  were recorded, 140-230°K. The values for the spin-coupling consts.  $J_{\text{HF}}$ ,  $J^{11\text{B}-\text{H}}$ , and  $J^{11\text{B}-\text{F}}$  are  $108 \pm 1$ ,  $211 \pm 2$ , and  $84 \pm 1$  cycles, resp.  $J_{\text{HF}}$  is temp. independent. The apparent values of  $J^{11\text{B}-\text{H}}$  and  $J^{11\text{B}-\text{F}}$  decrease below 165°K. owing to the interaction of rapidly fluctuating elec. field gradients with the elec. quadrupole moment of B. The center of the proton multiplet is  $\sim 0.12$  p.p.m. downfield from the center of the terminal proton multiplet in diborane. The F multiplet is  $\sim 60$  p.p.m. downfield from the F resonance in  $\text{BF}_3$ , which in this case was a single structureless line. The dependence of  $^{11}\text{B}-\text{H}$  coupling consts. on the orbital hybridization of B is discussed. RCJQ

C.A. 1964.61.12  
14063 f

1965

HBF<sub>2</sub>NBF<sub>2</sub>ИК-спектр

12 Д236. ИК-спектры и отнесение частот HBF<sub>2</sub> и DBF<sub>2</sub>. Lynds Lahmег. Infrared spectra and vibrational assignments of HBF<sub>2</sub> and DBF<sub>2</sub>. «J. Chem. Phys.», 1965, 42, № 3, 1124—1126 (англ.)

Зарегистрированы ИК-спектры HBF<sub>2</sub> и DBF<sub>2</sub>, полученных в разряде в смеси  $\text{HB}(\text{OCH}_3)_2$  и  $\text{BF}_3$ . Предложено отнесение полос для молекул  $\text{H}^{11}\text{BF}_2$ ,  $\text{H}^{10}\text{BF}_2$ ,  $\text{D}^{11}\text{BF}_2$ ,  $\text{D}^{10}\text{BF}_2$ .

93. 1965. 128

B99-4822-1

1965

HBF<sub>2</sub>  
DBF<sub>2</sub>

W.K.

(11089) INFRARED SPECTRA AND VIBRATIONAL ASSIGNMENTS OF HBF<sub>2</sub> AND DBF<sub>2</sub>. Lahmer Lynds (North American Aviation Science Center, Thousand Oaks, Calif.). J. Chem. Phys., 42: 1124-6 (Feb. 1, 1965).

The vibrational assignments of both HBF<sub>2</sub> and DBF<sub>2</sub> were made utilizing the Green's function and matrix partitioning techniques. All the dynamics of the perturbed molecules were determined from the Green's function of the unperturbed molecules. Results showing the observed spectra (estimated band centers for A<sub>1</sub> modes) and vibrational assignments are collected in tabular form. (M.C.G.)

NSA - 1965 - 19 - 7

151

829-1

Y

B9P-4

1965

HBF<sub>2</sub>newspaper

Infrared spectra and vibrational assignments of HBF<sub>2</sub> and DBF<sub>2</sub>. Lahmer Lynds (N. Am. Aviation Sci. Center, Thousand Oaks, Calif.). *J. Chem. Phys.* 42(3), 1124-6(1965)(Eng). By utilizing Green's functions and matrix partitioning techniques, vibrational assignments of HBF<sub>2</sub> and DBF<sub>2</sub> are made. In this procedure, all the dynamics of perturbed mols. (H<sup>11</sup>BF<sub>2</sub>, H<sup>10</sup>BF<sub>2</sub>, D<sup>11</sup>BF<sub>2</sub>, D<sup>10</sup>BF<sub>2</sub>) were detd. from Green's function of the unper-  
turbed mols. (<sup>11</sup>BF<sub>3</sub> and <sup>10</sup>BF<sub>3</sub>) without invoking a force const. model or geometric charges. The general features of rotational vibration bands are in agreement with anticipated band shapes.

M. Adhikari

151

B9P-4822

C.A. 1965 62.11  
12609e

1965

 $\text{HBF}_2$ 

(Ди)

Структур

линей.

важ

8 Д254. Колебательно-вращательный спектр дифторборана и дифторборана-*d*. Lynds L., Bass C. D. Vibrational-rotational spectrum of disluoroborane and disluoroborane-*d*. «J. Chem. Phys.», 1965, 43, № 12, 4357—4364 (англ.)

Получены спектры поглощения  $\text{HBF}_2$  в области 510—2700  $\text{см}^{-1}$  и  $\text{DBF}_2$  в области 760—2000  $\text{см}^{-1}$  со специальной шириной щели 0,6—1,5  $\text{см}^{-1}$ . Расположенные в исследованной области полосы, соответствующие основным колебаниям  $v_1$ ,  $v_2$ ,  $v_3$  (тип симметрии  $A_1$ ) и  $v_6$  (тип симметрии  $B_2$ ) молекулы  $\text{H}''\text{BF}_2$  и  $v_1$  и  $v_2$  молекулы  $\text{D}''\text{BF}_2$  проявляют явно выраженную вращательную структуру. Рассмотрение молекул  $\text{HBF}_2$  и  $\text{DBF}_2$  в приближении симметричного волчка позволяет сделать отнесение линий

1965-4823-1

1966. 89

к определенным  $K$ , вычислить положение центров полос и разности вращательных постоянных  $A-B$  в верхнем и нижнем колебательных состояниях. Определен наименьший момент инерции  $I_A$ , из которого вычислена величина угла  $F-B-F$ , получившаяся равной  $117,4 \pm 2^\circ$ . Длина связи  $BF$  принята равной  $1,295 \text{ \AA}$  ( $r_{BF}$  в  $BF_3$ ) и длина связи  $BH$   $1,20 \text{ \AA}$  ( $r_{BH}$  в  $B_2H_6$ ). Библ. 13 назв.

---

С. Станкевич

1965

HBF<sub>2</sub>Yi  
Copyrapp

Vibrational-rotational spectrum of difluoroborane and difluoroborane-d. L. Lynds and C. D. Bass (N. Am. Aviation Sci. Center, Thousand Oaks, Calif.). *J. Chem. Phys.* 43(12), 4357-64(1965)(Eng). Four HBF<sub>2</sub> and 2 DBF<sub>2</sub> fundamentals have been resolved into their fine structure under medium dispersion. The 3 A<sub>1</sub> modes,  $\nu_1$ ,  $\nu_2$ , and  $\nu_3$  are characterized by a series of evenly spaced lines having the general appearance of a  $\perp$  band of a symmetric-top mol. The B<sub>2</sub> modes,  $\nu_6$ , have a strong Q branch in addn. to a well-defined subband system and have the appearance of type-C bands near the prolate limit. On using a symmetric-top approxn., an analysis of the spectra provided 6 independent measurements for the smallest moment of inertia, from which the av. apex angle F-B-F was calcd. to be  $117.4 \pm 2^\circ$ , assuming the BH(BD) bond distance to be 1.20 Å. In HBF<sub>2</sub>, interband agreement of the rotational const. A, assocd. with the smallest moment of inertia, was quite good. It was possible to assign K values to the individual lines and to det. the position of the band centers for the resolvable fundamentals  $\nu_1$ ,  $\nu_2$ ,  $\nu_3$ , and  $\nu_6$ .

RCJQ

C.A. 1966

64.4

4466 de

B9P - 48223 - Y

HBF<sub>2</sub>DBF<sub>2</sub>(3), м.и.,  
струнки(хл.)

**4 Д413.** ИК-спектры дифторборана и дифторборона-d. Регес М., Веска Л. N. Infrared spectra of difluoroborane and difluoroborane-d. «J. Chem. Phys.», 1965, 43, № 2, 721—727 (англ.)

Исследованы спектры поглощения  $\text{H}-\text{BF}_2$  (I) и  $\text{D}-\text{BF}_2$  (II) в газовом состоянии в области 400—2800  $\text{cm}^{-1}$ . Путем сравнения спектров I, II и  $\text{B}_2\text{H}_6$  и  $\text{BF}_3$  определены основные частоты колебаний I и II. Найденные значения частот удовлетворительно согласуются с расчетными по данным других авторов. Анализ спектров при высоком разрешении с применением представления о симметричном волчке позволил определить моменты инерции, длины связи, углы между связями и соответствующие изотопич. сдвиги для I и II. Вычислены силовые постоянные. Библ. 15 назв. М. Киселева

**Б99-4824**

1965

~~H-BF<sub>2</sub>~~~~D-BF<sub>2</sub>~~~~Un. calc'd.~~

Infrared spectra of difluoroborane and difluoroborane-d.  
 M. Perec and L. N. Becka (Univ. Buenos Aires). *J. Chem. Phys.* 43(2), 721-7 (1965) (Eng). Gaseous H-BF<sub>2</sub> and D-BF<sub>2</sub> were obtained by a new method of prepn. Analysis of high-resolution ir spectra gave approx. values for the B-F distance ( $1.30 \pm 0.15$  Å.) and the F-B-F angle ( $120^\circ \pm 5^\circ$ ). Five of the 6 fundamentals were observed and assigned unambiguously:  $\nu_2 = 2620$  and  $1962\text{ cm.}^{-1}$ , B-H and B-D stretches;  $\nu_1 = 1166$  and  $1128\text{ cm.}^{-1}$ ,  $^{11}\text{B}-\text{F}$  symmetric stretches in H-BF<sub>2</sub> and D-BF<sub>2</sub>;  $\nu_3 = 545$  and  $540\text{ cm.}^{-1}$ , F- $^{11}\text{B}-\text{F}$  bending in H-BF<sub>2</sub> and D-BF<sub>2</sub>;  $\nu_4 = 1402, 1392, 1419\text{ cm.}^{-1}$ ,  $^{11}\text{B}-\text{F}$  asymmetric stretches in H-BF<sub>2</sub> and D- $^{11}\text{BF}_2$  and  $^{10}\text{B}-\text{F}$  stretch in D- $^{10}\text{BF}_2$ , resp.;  $\nu_6 = 944, 924, 810, 790\text{ cm.}^{-1}$ , out-of-plane deformation in H- $^{10}\text{BF}_2$ , H- $^{11}\text{BF}_2$ , D- $^{10}\text{BF}_2$ , and D- $^{11}\text{BF}_2$ , resp. The H-B-F bending appears to have a frequency  $\nu_5 = 1200\text{ cm.}^{-1}$  for H- $^{11}\text{BF}_2$  and is estd. at  $887\text{ cm.}^{-1}$  for D- $^{11}\text{BF}_2$ . A force-const. calcn. was made, obtaining the following values (in millidynes per angstrom):  $f_D = 3.66$ ,  $f_d = 6.625$ ,  $f_d' = 0.725$ ,  $f_{Dd} = 0.37$ ,  $f_r = 0.772$ . RCJQ

C.A. 1965 63-4  
 3779 fg

B9-4824-1

$\text{HBF}_2$  (газ)

1965

6 Б199. Реакция бороксина с  $\text{BF}_3$  (газ). Инфракрасный спектр и стабильность  $\text{HBF}_2$  (газ). Porter Richard F., Wason Satish K. Reaction of boroxyne with  $\text{BF}_3$  (g). Infrared spectrum and stability of  $\text{HBF}_2$  (g). «J. Phys. Chem.», 1965, 69, № 7, 2208—2212 (англ.)

Исследована хим. р-ция тв. бороксина (I) с газ.  $\text{BF}_3$ . Обмен водорода в I на фтор в  $\text{BF}_3$  приводит к образованию  $\text{HBF}_2$ . При обычных т-рах  $\text{BF}_3$  реагирует с I более быстро, чем с дибораном. Определена теплота образования  $\text{HBF}_2$  (газ.) при  $298^\circ\text{K}$ , равная  $-175,5 \pm 1,5$  ккал/моль. Получены ИК-спектры  $\text{HBF}_2$  и  $\text{DHF}_2$ , и 5 из 6 основных колебаний  $\text{HBF}_2$  определены с помощью правила произведения Теллер — Редлиха.

Резюме авторов

Бар - 4826 - V

Х. 1967. 6

HB" F<sub>2</sub>

7 Б302. Поляризуемость молекул и связей, амплитуды колебаний и термодинамические функции некоторых дигалоидоборанов. Nagarajan G. Bond and molecular polarizabilities, mean amplitudes of vibration and thermodynamic functions in some dihaloboranes. «Acta phys. polon.», 1966, 29, № 6, 841—852 (англ.)

1966

7.4.

ср. АИИ  
Пом. бай

На основе структурных и спектроскопич. данных, полученных ранее различными авторами, проведен расчет поляризуемости связей и молекул некоторых дигалоборанов, обладающих плоской конфигурацией ( $\text{HB}^n\text{F}_2$ ,  $\text{DB}^n\text{F}_2$ ,  $\text{HB}^{10}\text{Cl}_2$  т. п.). Расчет проведен по методу Липпинкотта — Штутмана с использованием для хим. связи модели δ-функции. Вычислены средние амплитуды колебаний связанных и несвязанных пар атомов при  $T = 298$  и  $500^\circ\text{K}$ . На основе модели жесткого ротора и гармонич. осциллятора по стандартным ф-лам вычислены термодинамич. функции для области  $T = 200—2000^\circ\text{K}$ . Результаты вычислений приведены в виде таблиц.

В. Морозов

Х. 1967.7

1966

HBF<sub>2</sub>DBF<sub>2</sub>отнесение  
полосv<sub>i</sub>

10 Д113. Об отнесении колебаний типа  $B_1$  в молекулах HBF<sub>2</sub> и DBF<sub>2</sub>. Регес М., Becka L. N. On the assignment of the  $B_1$  modes of HBF<sub>2</sub> and DBF<sub>2</sub>. «J. Chem. Phys.», 1966, 44, № 8, 3149—3150 (англ.)

Проведено сравнение отнесений полос к колебаниям  $v_4$  и  $v_5$  типа  $B_1$  в молекулах HBF<sub>2</sub> и DBF<sub>2</sub>, предложенных различными авторами. Приводится ряд соображений в пользу правильности отнесения этих колебаний, данного авторами настоящей работы ( $v_4 = 1402$ ,  $v_5 = 1200$ , для  $\text{H}^{11}\text{BF}_2$  и  $v_4 = 1392$ ,  $v_5 = 887 \text{ см}^{-1}$  для  $\text{D}^{11}\text{BF}_2$ ). Значение частоты  $v_5$  для DBF<sub>2</sub> получено с помощью правила произведений, однако отнесение полосы при  $1200 \text{ см}^{-1}$  к колебанию  $v_5$  HBF<sub>2</sub> остается сомнительным. М. Алиев

Б99 - 4825-1

окт. 1966 · 102

1966

Assignment of the  $B_1$  modes of  $HBF_2$  and  $DBF_2$ . M. Pérez  
and L. N. Becka (Univ. Buenos Aires). *J. Chem. Phys.* 44(8),  
3149-50(1966)(Eng). Recent ir spectroscopic measurements  
on  $HBF_2$  and  $DBF_2$  are in good agreement with data reported by  
Lynds (*CA* 62, 12609d) except for the assignment of the  $B_1$   
modes. The assignment of the  $\nu_4$  mode is correct because (1) a  
very weak peak at  $1200\text{ cm.}^{-1}$  was obtained in a spectrum of  
 $DBF_2$ , similar to that in the material used by Lynds, (2) the  
band at  $1402\text{ cm.}^{-1}$  of the  $HBF_2$  spectrum cannot be solely due  
to the  $\nu_5$  mode, (3) if the  $\nu_4$  mode of  $HBF_2$  lies at  $\sim 1461\text{ cm.}^{-1}$ ,  
the intensity of that region of the spectrum would be much  
higher than it actually is, and (4) if the D-B deformation mode,  
 $\nu_5$ , is at  $1200\text{ cm.}^{-1}$  the corresponding H-B mode should lie at  
 $\sim 1600\text{ cm.}^{-1}$ , by application of the product rule. A very small  
peak at  $1200\text{ cm.}^{-1}$  has been observed in the spectrum of  $DBF_2$ .  
Whatever the assignment of  $\nu_5$  may be, it will not change force  
const. calcns. appreciably as far as the B-F stretching const. is  
concerned, since the frequency of  $\nu_5$  depends mainly on bending  
and bending-stretching force consts. A. J. J. van Rensburg

C.A. 1966. 65:10  
14655 bc

B92-4825-V

Вр-5817-V

1968

$\text{HB}^{10}\text{F}_2$

$\text{HB}^{11}\text{F}_2$

вращ. пост.

22 Б298. Микроволновой спектр, структура, константы квадрупольного взаимодействия и дипольный момент дифторборана. Kasuya T., Lafferty W. J., Lide D. R. Microwave spectrum, structure, boron quadrupole coupling constants, and dipole moment of difluoroborane. «J. Chem. Phys.», 1968, 48, № 1, 1—4 (англ.)

Проведено отнесение микроволновых спектров  $\text{HB}^{10}\text{F}_2$ ,  $\text{HB}^{11}\text{F}_2$ ,  $\text{DB}^{10}\text{F}_2$  и  $\text{DB}^{11}\text{F}_2$ . Определены вращательные постоянные для этих молекул. Например, для молекул  $\text{HB}^{10}\text{F}_2$  и  $\text{DB}^{10}\text{F}_2$  они равны ( $\text{Мгц}$ ) 77244,25; 10495,35; 9221,49 и 54081,82; 10496,89; 8771,57, соответственно. С использованием этих постоянных вычислены структурные параметры:  $r_{\text{BF}} = 1,311 \pm 0,005$ ,  $r_{\text{BII}} = 1,189 \pm 0,10 \text{\AA}$  и  $\angle \text{BF} = 118,3 \pm 1^\circ$ . Получены константы квадрупольного взаимодействия и определен дипольный момент. Резюме

X. 1968. 22

HBF<sub>2</sub>

B95-5817-L

1968

(M. B. Child)

(Copy righted)

73818m Microwave spectrum, structure, boron quadrupole coupling constants, and dipole moment of disfluoroborane. T. Kasuya, W. J. Lafferty, and D. R. Lide, Jr. (Natl. Bur. of Stand., Washington, D.C.). *J. Chem. Phys.* 48(1), 1-4(1968) (Eng). The microwave spectra of H<sup>10</sup>BF<sub>2</sub>, H<sup>11</sup>BF<sub>2</sub>, and D<sup>10</sup>BF<sub>2</sub> have been assigned. Rotational consts. are 74,494.82, 10,496.74, and 9181.67 for H<sup>11</sup>BF<sub>2</sub>; 77, 224.25, 10,495.35, and 9221.49 for H<sup>10</sup>BF<sub>2</sub>; 52,896.09, 10,498.29, and 8740.46 for D<sup>11</sup>BF<sub>2</sub>; and 54,081.81, 10,496.89, and 8771.57 Mc./sec. for D<sup>10</sup>BF<sub>2</sub>. The structural parameters obtained from thses consts. and their estd. uncertainties are  $r_{BF} = 1.311 \pm 0.005$ ,  $r_{BH} = 1.189 \pm 0.010$  A., and the angle FBF =  $118.3^\circ \pm 1^\circ$ . The quadrupole coupling consts. have been obtained. The dipole moment is  $0.971 \pm 0.010$  D.

RCJQ

C.A. 1968-68-16

В9Р - 5817-Л

1968

HBF<sub>2</sub>

(н.в.)

Число

10 Д327. Микроволновый спектр, структура, постоянные квадрупольного расщепления бора и дипольный момент дифторбора. Kasuya T., Lafferty W. J.

Lide D. R. Microwave spectrum, structure, boron quadrupole coupling constants, and dipole moment of difluoroborane. «J. Chem. Phys.», 1968, 48, № 1, 1-4 (англ.)

Отождествлены микроволни. спектры молекул  $\text{H}^{10}\text{BF}_2$ ,  $\text{H}^{11}\text{BF}_2$ ,  $\text{D}^{10}\text{BF}_2$  и  $\text{D}^{11}\text{BF}_2$ . Получены вращательные постоянные. Найдены структурные параметры:  $d(\text{BF}) = 1,311 \pm 0,005 \text{ \AA}$ ,  $d(\text{BH}) = 1,89 \pm 0,010 \text{ \AA}$  и  $\langle \text{FBF} = 118,3^\circ \pm 1^\circ$ . Определен дипольный момент, равный  $0,971 \pm 0,10$  ед. Дебая. И. И. Б.

09. 1968

109



НВF<sub>2</sub>

1970

21 Б47. Электронные энергии и строение дифторборана. Armstrong D. R. The electronic energies and structure of difluoroborane. «Inorg. Chem.», 1970, 9, № 4, 874—877 (англ.)

Электронное строение дифторбора рассчитано по методу ССП МО ЛКАО в гауссовом базисе с использованием орбитальных экспонент из работы (РЖХим, 1967, 19Б27). Геометрич. параметры приняты по данным микроволновых спектров равными:  $l_{\text{B}-\text{F}}=1,311 \text{ \AA}$ ,  $l_{\text{B}-\text{H}}=1,189 \text{ \AA}$ , угол FBF=118,3°. Использован базис из 7 орбиталей *s*-типа и 3 орбиталей *p*-типа для атомов В и F, и 3 орбиталей *s*-типа для атома Н ((7,3,3)-базис), к-рый авторы считают достаточным для вычисления полной энергии в хартри-фоковском пределе. Найденная полная энергия диссоциации на атомы с учетом эмпирич. поправок на электронную корреляцию равна 414,3 ккал/моль в хорошем согласии с величиной 377,4 ккал/моль, полученной как сумма энергий отдельных связей (эксперим.

ригур

энергия диссоциации неизвестна). Высшей занятой орбиталью является МО  $\sigma$ -типа, к-рая содержит гл. обр.  $s$ -AO водорода. Потенциал ионизации по теореме Купманса найден равным 15,4 эв. Первой виртуальной орбиталью является орбита  $\pi$ -типа, содержащая в основном  $p$ -орбитали бора. Анализ заселенностей указывает на большой положит. заряд на атоме бора (1,049) с переносом 0,594  $e$  от атомов F по  $\sigma$ -связям с обратным донированием по  $\pi$ -связям в 0,12  $e$ , тогда как атом H остается нейтральным. Заселенность перекрывания связи B—H меньше чем в BH<sub>3</sub> или чем для терминалной связи в диборане, но указывает на достаточно прочную связь (0,706). Связи F—F и H—F имеют значительный разрыхляющий характер, первая в меньшей степени, чем вторая, что может быть причиной меньшего угла FBF. Кривые потенциальной энергии, полученные с (5,2,2)-базисом приводят к хорошему согласию с эксперим. геометрией молекулы. Найдена энергия перехода молекулы в пирамидальную конформацию, энергия локализации  $\pi$ -электронов на атомах F и обсуждена проблема  $\pi$ -связи в молекуле.

А. Багатурьянц

HBF<sub>2</sub>

1980

114979t Electronic energies and structure of difluoroborane.  
Armstrong, David Reed (Comput. Dep., Univ. Newcastle upon  
Tyne, Newcastle upon Tyne, Engl.). *Inorg. Chem.* 1970, 9(4),  
874-7 (Eng). The electronic energy and distribution of di-  
fluoroborane, HBF<sub>2</sub>, were examd. by mol. quantum-chem. calcns.  
using Gaussian-type AO. The structure of HBF<sub>2</sub> was investi-  
gated, and excellent agreement with the exptl. parameters was  
obtained. The  $\pi$ -localization and reorganization energies of  
difluoroboranes were calcd. to be 35.7 and 24.4 kcal/mole, resp.

RCHH

efficiency

kb. exx.

paerem

C.A. 1970.72.22

1680

HBF<sub>2</sub>

10 Д128. Электронные энергии и структура дифторборана. Armstrong D. R. The electronic energies and structure of disfluoroborane. «Inorg. Chem.», 1970, 9, № 4, 874—877 (англ.)

Методом самосогласованных МО в базисе гауссовых орбиталей с орбитальными экспонентами, табулированными Чизмадиа и др. (РЖФиз, 1967, 8Д109), и с геометрическими параметрами ( $l_{\text{B}-\text{F}}=1,311 \text{ \AA}$ ,  $l_{\text{B}-\text{H}}=1,189 \text{ \AA}$  и угол  $\text{FBF}=118,3^\circ$ ), взятыми из данных микроволн. спектроскопии, рассмотрена электронная структура дифторборана  $\text{HBF}_2$  (I). Согласно результатам расчетов высшей занятой орбитальной в I является орбиталь  $\sigma$ -типа с основным вкладом от  $s$ -орбитали атома Н и с потенциалом ионизации 15,4 эв, а первая виртуальная орбиталь локализована на  $p_z$ -орбиталях атома В (орбиталь  $\pi$ -типа). Атом В заря-

Энергия  
стабильности  
(расчет)

09, 1970.

108

жен положительно (+1,05), а атомы F — отрицательно (-0,525). Эффективный заряд на атоме H близок к нулю. Около 0,594 части  $\sigma$ -электронов переносится от атома В к атомам F и около 0,12 части  $\pi$ -электронов переносится от атомов F к атому В. Обе связи F—H и F—F являются разрыхляющими, причем первая более сильно разрыхляющей. Это, по мнению автора, может служить объяснением причины того, что угол FBF в I меньше 120°. Обсуждается электронная природа донорно-акцепторных свойств трехвалентных соединений В. С этой целью вычислены полные энергии, одноэлектронные уровни и распределение электронной плотности для плоской и пирамидальной конфигураций I с длинами связей, взятыми из данных для  $\text{BF}_3 \cdot \text{NH}_3$  и  $\text{BH}_3 \cdot \text{CO}$ . Плоская структура оказалась устойчивой на 24,4 ккал/моль, что хорошо согласуется с известными донорно-акцепторными свойствами соединений В, обладающих плоской структурой.

Ю. Удачин

BHF<sub>2</sub>

BH<sub>2</sub>F<sub>2</sub>

N  
S.

Yangtze P.S. u gp.

1970

J. Chem. Phys., 53 (2),  
7782.

(cont. BH) III

1970

BH<sub>2</sub>F

BHF<sub>2</sub>

21. CP-pa

Schwartz M. S.,  
Allen L. C.

J. Amer. Chem. Soc., 92 (6),  
1466.

(catal. BH<sub>3</sub>) III

*HBF<sub>2</sub>*

1971

*Chel. и.*  
22 Б197. Использование постоянных колебательно-вращательного взаимодействия для расчёта силового поля дифторборана. Креденцер Е. И., Свердлов Л. М. «Изв. высш. учебн. заведений. Физика», 1971, № 6, 26—30

Силовые постоянные дифторборана  $\text{HBF}_2$  (I) рассчитаны с использованием 20 основных частот четырех изотопозамещенных молекул, 11 постоянных центробежного искажения и 4 дефектов инерции. Приводятся удобные ф-лы для расчета производных от постоянных центробежного искажения по силовым постоянным. Для

X. 1971. 22

проверки правильности вычисления энталпии производных получено соотношение  $\sum (\partial \tau_{\alpha\beta\gamma\delta} / \partial K_{ij}) K_{ij} = -\tau_{\alpha\beta\gamma\delta}$ . Для всех вычисленных величин наблюдается хорошее совпадение с экспериментом. Приведены таблицы вычисленных частот, кориолисовых постоянных, постоянных центробежного искажения и дефектов инерции. Силовая постоянная связи B—F в I  $K_{B-F} = 10,485$  (при длине связи 1,311 Å), что меньше значения силовой постоянной для  $BF_3$   $K_{B-F} = 13,014$  (при длине связи 1,295 Å). Силовая постоянная связи B—H, равная 6,4 (длина связи 1,189 Å) сравнивается с аналогичной силовой постоянной диборана 5,84 (единицы  $10^6 \text{ см}^{-2}$ ). Автореферат

B-F-H

1971

114350t) Use of vibrational-rotational coupling constants for calculating the force field of difluoroborane. Kredentser, E. I.; Sverdlov, L. M. (Sarat. Politekh. Inst., Saratov, USSR). *Izv. Vyssh. Ucheb. Zaved., Fiz.* 1971, 14(6), 26-30 (Russ). By using literature exptl. data, the force consts., the centrifugal-distortion consts., the inertial defects in excited vibration states, the Coriolis consts., and some characteristic frequencies for difluoroborane were calcd. by known procedures. Comparison of the calcd. values with their obsd. counterparts, where available, is given. The importance of vibration-rotation interaction consts. as supplementary data on the force field of molecules is discussed.

M. Hubik

(Dr Vi)

C.A. 1971. 45

HBF<sub>2</sub>

1971

11 Д192. Использование постоянных колебательно-вращательного взаимодействия для расчета силового поля дифторборана. Креденцер Е. И., Свердлов Л. М. «Изв. высш. учебн. заведений. Физика», 1971, № 6, 26—30

*Рисунок*  
*ч. 2.*

Силовые постоянные дифторборана HBF<sub>2</sub> рассчитаны с использованием 20 основных частот четырех изотопозамещенных молекул, 11 постоянных центробежного искажения и 4 дефектов инерции. Даётся критич. оценка использованного эксперим. материала на основе расчетных данных. Приводятся удобные ф-лы для расчета производных от постоянных центробежного искажения по силовым постоянным. Для проверки правильности вычисления этих производных получено соотношение:

Ф. 1971. 11/2

$$\sum_{i,j} \frac{\partial \tau_{\alpha\beta\gamma\delta}}{\partial K_{ij}} K_{ij} = -\tau_{\alpha\beta\gamma\delta}.$$

Для всех вычисленных величин наблюдается совпадение с экспериментом. Приводятся таблицы вычисленных частот, кориолисовых постоянных, постоянных центробежного искажения и дефектов инерции. Силовая постоянная связи  $B-F$  в этой молекуле  $K_{B-F} = 10,485$  (при длине связи  $1,311 \text{ \AA}$ ), что меньше значения силовой постоянной для  $BF_3$   $13,014$  (при длине связи  $1,295 \text{ \AA}$ ). Силовая постоянная связи  $B-H$ , равная  $6,4$  (длина связи  $1,189 \text{ \AA}$ ), сравнивается с аналогичной силовой постоянной диборана  $5,84$  (вес в ед.  $10^6 \text{ см}^{-2}$ ).

Автореферат

HBF<sub>2</sub>

1971

(Д214.) Силовое поле, постоянные центробежного искажения и константы кориолисовой связи HBF<sub>2</sub>, DBF<sub>2</sub>. Venkateswarlu K., Rudra Wattie M. K. Force field, centrifugal distortion constants and Coriolis coupling constants of HBF<sub>2</sub> and DBF<sub>2</sub>. «Indian J. Pure and Appl. Phys.», 1971, 9, № 4, 233—234 (англ.)

На основе новых данных о молекулярных параметрах (РЖФиз, 1968, 10Д327) определены заново силовые постоянные и рассчитаны *d*-константы Ватсона и  $\zeta$ -постоянны. Наибольшее расхождение между рассчитанными и эксперим. значениями *d*-постоянных составляет ~7% для HBF<sub>2</sub>(*d*<sub>УК</sub>) и ~22% для DBF<sub>2</sub>(*d*<sub>К</sub>). Полученные силовые постоянные лучше, чем известные ранее, воспроизводят *d*-постоянны.

Ю. С. Макушкин

99, 1972, 18

+1



HBF<sub>2</sub>

1971

2773/11 Force field, centrifugal distortion constants and Coriolis coupling constants of difluoroborane and difluoroborane-d.  
Venkateswarlu, K.; Warrier, M. K. Rudra (Dep. Phys., P. S. G. Arts Coll., Coimbatore, India). *Indian J. Pure Appl. Phys.* 1971, 9(4), 233-4 (Eng). A set of force consts. of the general valence type has been detd. for the mols. HBF<sub>2</sub> and DBF<sub>2</sub> by using the recently reported mol. parameters and is used to det. the centrifugal distortion consts. and Coriolis coupling consts.

C.d. 1971.75.4

$\text{HBF}_2$

$\text{DBF}_2$

чеснок

т.г.ср.

ф. 1974 № 1

XV - 1178  
олимпий 1953

1973

третий разгр. Wargieh A. K.

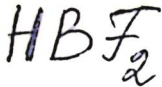
1Д377. Средние амплитуды и термодинамические функции  $\text{HBF}_2$  и  $\text{DBF}_2$  по спектроскопическим данным. Mutaleedhara Wargieh K.; Girijavallabhan C. P. Mean amplitudes & thermodynamic functions of  $\text{HBF}_2$  &  $\text{DBF}_2$  from spectroscopic data. «Indian J. Pure and Appl. Phys.», 1973, 11, № 3, 221—222 (англ.)

С привлечением новых данных о структурных параметрах вычислены средние амплитуды колебаний  $\text{HBF}_2$  и  $\text{DBF}_2$ . Несмотря на некоторое изменение значений  $l$ , среднеквадратичные амплитуды для связей В—Н и В—F согласуются с аналогичными величинами для молекулы  $\text{BFCl}_2$ . Рассчитаны термодинамич. ф-ции  $\text{HBF}_2$  и  $\text{DBF}_2$ . Библ. 7.

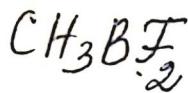
М. В. Тонков

+ Елинову

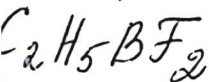
(+) Tg sp.



1974



85: 25602r Geometry optimized ab initio study of  $ABF_2$ , A = hydrogen, methyl, ethyl, vinyl, fluorine. Fitzpatrick, N. J.; Mathews, N. J. (Dep. Chem., Univ. Coll., Belfield/Dublin, Ire.). *Proc. Int. Conf. Coord. Chem.*, 16th 1974, 2.2a, 3 pp. (Eng). Univ. Coll., Dublin, Dep. Chem.: Dublin, Ire. The results of an ab initio MO calcn. and mol. structure of the title compds. are presented. All bond lengths, except C-H are optimized as are all XBF angles (X is a neighboring H, C, or F). The XBF<sub>2</sub> moiety is assumed planar and rotations about the B-C bonds are considered.



(enfylkning, kb. cex. reerem).

(+2)



C.A. 1976. 25N4

50812.7224  
Ch, TC

40534

1975  
3239

$HBF_2$  ( $A_{4+}$ )

Pierce Robert C., Porter Richard F.

Ion-molecule chemistry of  $BF_3$  and  $HBF_2$   
in hydrogen.

"Inorg.Chem.", 1975, 14, N 5, 1087-1093

(англ.)

0421 ник

404 404 4 1 8

ВИНИТИ

70317.1506

Ch, Ph, TC, MGU

34469

HB<sub>F<sub>2</sub></sub>

1976

X 45-17642

Deb B.M., Bose S.K., Sen P.N.

Geometry predictions for HAB<sub>2</sub> and AB<sub>5</sub>  
molecules based on their highest occupied  
molecular orbitals. "Indian J. Pure and

Appl. Phys.", 1976, 14, N 6, 444-452.

(англ. *full HC0<sub>3</sub>; II*) 0832 РМК

793 793 182 31

ВИНИТИ

HBF<sub>2</sub>  
DBF<sub>2</sub>

XV - 3252

1976

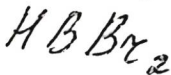
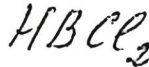
K<sub>p</sub>  
ΔH  
ΔS  
- mol.  
mol.

Bestefano A.J., Roby R.J.,  
Porter R.F.

"Thermochimica Acta", 1976, 16, N2,  
236 - 39.

"A thermodynamic study of H-D  
exchange in the hydrogen -  
difluoroborane system".

1977



Cod. no. 25.

St. 01,

90: 94558w Molecular force fields and mean amplitudes of vibrations of some dihaloboranes - Green's function analysis, Ramaswamy, K.; Shanmugam, G. (Dep. Phys., Annamalai Univ., Annamalainagar, India). *J. Annamalai Univ., Part B* 1977, 31, 47-56 (Eng). The Green's function procedure was used to obtain potential energy consts. and the mean amplitudes of vibration for  $HBX_2$  ( $X = F, Cl, Br$ ). The central B atom is substituted to arrive at the results. All the mol. consts. obtained in this study are comparable with earlier reported values.

(4) 8

C. S. 1979. 90 n12

BHF<sub>2</sub>

Lommel 10625 | 1980.

Yeo K., et al.

(J)

Theor. chim. acta,  
1980, 54, 131-144

K. Yeo,  
K. et al.

BHF<sub>2</sub>

BH<sub>2</sub>F

Ei  
rb. reex.  
faster

Lommeca 9241

1980

Makšić Ž.B., et al.

Theor. chim. acta,  
1980, 54(2), 145-156

$HBF_2$

Оммаси 10059

1980

24 Б167. Гармоническое силовое поле и средняя структура основного состояния дифторборана. Robiette A. G., Gerry M. C. L. The harmonic force field and ground-state average structure of difluoroborane. «J. Mol. Spectrosc.», 1980, 80, № 2, 403—410  
(англ.)

4, 11;

20000 р.

Сив. пас.



X. 1980 № 24

С использованием лит. значений колебательных частот и постоянных центробежного искажения для четырех изотопозамещенных молекул  $\text{H}^{11}\text{BF}_2$ ,  $\text{H}^{10}\text{BF}_2$ ,  $\text{D}^{11}\text{BF}_2$  и  $\text{D}^{10}\text{BF}_2$  по методу НК получен уточненный набор силовых постоянных гармонич. силового поля молекулы дифторборана. Предсказанное на основе расчета значение частоты колебания  $v_5(B_1)$ , не идентифицированного в спектрах, составило  $1049 \pm 50 \text{ см}^{-1}$  для  $\text{HBF}_2$  и  $775 \pm 50 \text{ см}^{-1}$  для  $\text{DBF}_2$ . С использованием уточненного силового поля и лит. значений вращательных постоянных рассчитаны геометрич. параметры средней структуры основного состояния молекулы  $\text{HBF}_2$ , составившие для длин связей  $\text{B}-\text{H}$  и  $\text{B}-\text{F}$   $1,195 \pm 0,003$  и  $1,315 \pm 0,001 \text{ \AA}$ , соотв., для угла  $\text{FBF} - 118 \pm 0,1^\circ$ .

А. Н. Курский

HBF<sub>2</sub>

DBF<sub>2</sub>

cm<sup>-1</sup>/yr<sup>-1</sup>

Mapleau,

Cust. no. 25.

Lommel 10059)

1980

93: 16057c The harmonic force field and ground state average structure of difluoroborane. Robiette, A. G.; Gerry, M. C. L. (Dep. Chem., Univ. British Columbia, Vancouver, BC Can. V6T 1W5). *J. Mol. Spectrosc.* 1980, 80(2), 403-10 (Eng). An improved harmonic force field of difluoroborane was calcd. using the vibrational wavenumbers and quartic centrifugal distortion consts. of 4 isotopic species. The unidentified vibrational mode  $\nu_5$  is predicted at  $1049 \pm 50$  and  $775 \pm 50 \text{ cm}^{-1}$  for HBF<sub>2</sub> and DBF<sub>2</sub>, resp. The ground-state av. structure of HBF<sub>2</sub> is  $r_z(\text{BH}) = 1.195 \pm 0.003 \text{ \AA}; r_z(\text{Bf}) = 1.315 \pm 0.001 \text{ \AA}; \langle(\text{BF}) \rangle = 118.0 \pm 0.1^\circ$ .

CA 1980 93 n2

$\text{HBF}_2$

Отмиси 10059

1580

1 Д371. Гармоническое силовое поле и усредненная по основному состоянию структура дифторборана. The harmonic force field and ground-state average structure of difluoroborane. Robiette A. G., Геггу М. С. Л. «J. Mol. Spectrosc.», 1980, 80, № 2, 403—410 (англ.)

Проведен повторный анализ микроволн. спектров  $\text{H}^{11}\text{BF}_2$ ,  $\text{H}^{10}\text{BF}_2$ ,  $\text{D}^{11}\text{BF}_2$  и  $\text{D}^{10}\text{BF}_2$ . Определены вращательные постоянные и константы центробежной деформации. Величина тьюль  $\text{D}^{10}\text{BF}_2$  не укладывается в теоретич. представления, что указывает на необходимость повторного исследования микроволн. спектра этой молекулы. Величины  $\tau$  для остальных молекул вместе с найденными по ИК-спектрам поглощения частотам основных полос использованы для определения колебательных силовых постоянных. Их величины позволяют предсказать частоты не зарегистрированных ранее в ИК-спектре полос  $v_5$   $\text{HBF}_2$  и  $\text{DBF}_2$ . Найденное силовое поле использовано для определения усредненных по основному состоянию геометрич. параметров молекул. Библ. 14.

М. б. Смир,  
Сер. пост.

Ф. 1581 в/1

М. Т.У.

1981

BF<sub>3</sub>H

H<sub>2</sub>BOH

FH<sub>2</sub>BOH

F<sub>2</sub>BOH

HB(OH)<sub>2</sub>

FB(OH)<sub>2</sub>

(геометрические)

(+2)

Х. 1981 № 22, 1945

Омск 1980

22 Б45. Точные неэмпирические расчеты структур и конформаций некоторых борных и фторборных кислот градиентным методом. Влияние базиса на валентные углы при атоме кислорода. Boggs James E., Coddell Floyd R. Accurate ab initio gradient calculation of the structures and conformations of some boric and fluoroboric acids. Basis-set effects on angles aro-

Тез.  
ко.

und oxygen. «J. Mol. Struct.», 1981, 76, № 4 (Theo-  
chem», 1981, 1, № 4), 329—347 (англ.)

С помощью программ для неэмпирич. расчета молекул методом ССП и аналитич. расчета сил, действующих на ядра, проведено изучение строения ряда борсодержащих молекул. Все расчеты выполнены в базисах типа 4-21, 4-21\*, 4-21\*\*, причем при обсуждении ошибок расчета, сравнении с имеющимися эксперим. данными и выборе наиболее надежных теор. оценок используется концепция, согласно к-рой неполнота базиса АО в расчетах методом ССП в какой-то мере компенсируется отсутствием учета корреляц. эффектов при анализе относит. изменений рассчитанных величин. Приведен ряд аргументов в пользу этой концепции. Описаны результаты анализа орбитальных энергий, геометрич. характеристик и электронных распределений молекул BF<sub>2</sub>H, H<sub>2</sub>BOH, двух конформеров FHBOH и F<sub>2</sub>BOH, трех конформеров NB(OH)<sub>2</sub> и FB(OH)<sub>2</sub>.

В. И. Пулышев

*BF<sub>2</sub>H*

*OMNILEX 11880*

*1981*

195: 103720a Accurate ab initio gradient calculation of the structures and conformations of some boric and fluoroboric acids. Basis-set effects on angles around oxygen. Boggs, James E.; Cordell, Floyd R. (Dep. Chem., Univ. Texas, Austin, TX 78712 USA). *THEOCHEM* 1981, 1(4), 329-47, (Eng). Accurate geometry detns. by SCF computation are reported for BF<sub>2</sub>H, H<sub>2</sub>BOH, 2 conformers of FHBOH, F<sub>2</sub>BOH, 3 conformers of HB(OH)<sub>2</sub>, and 3 conformers of FB(OH)<sub>2</sub>. The effect of adding polarization functions to the double zeta basis set is exmd. in detail both with respect to alteration of the computed abs. values of the structure parameters and to changes in the consistency of the computed relative values. The geometry computation should be done at a level which is adequate to produce small and const. offset values for the parameters sought, i.e. const. and predictable residual errors resulting from use of a finite basis set and neglect of electron correlation. In the rare situations, when the desired chem. information is found in abs. rather than relative values of the parameters, the offset correction can be added to the computed value. In many cases, such structure evaluations are at least as reliable as those from the best expts. For the compds. in this study, substitution of either F or OH increases the ionic character of both the B-F and B-O bonds. The B-F bond is slightly more ionic than B-O. The OH group is a slightly stronger  $\sigma$  electron-acceptor and  $\pi$  electron-donor than is F.

*morem.  
pacem  
cmrykmjy*

*(B)*

*(+2)*

*C.A. 1981,  
95, N/2.*

$H_2BOH$

①

$\checkmark FHBOH$

$\checkmark F_2BOH$

$HB(OH)_2$

$\checkmark FB(OH)_2 - ②$

$\mu\text{BF}_2$

Ommenck 12433

1981

90 monoket.  
Chemys

95: 17S300x Difluoroborane,  $\text{HBF}_2$ . A study by helium(He I) photoelectron spectroscopy, and ab initio methods including perturbation corrections to Koopmans' theorem. Chong, D. P.; Kirby, C.; Lau, W. M.; Minato, T.; Westwood, N. P. C. (Dep. Chem., Univ. British Columbia, Vancouver, BC Can. V6T 1Y6). *Chem. Phys.* 1981, 59(1-2), 75-83 (Eng). The unstable  $\text{HBF}_2$  mol. was generated in the gas phase, and studied by He I photoelectron spectroscopy in the absence of other interfering species. The spectrum was assigned with the assistance of calcns. involving perturbation corrections to Koopmans' theorem, and the semi-empirical MNDO method. No Koopmans' breakdown is obsd., but the  $^2\text{A}_1$  ground ionic state is shown to have a geometry appreciably different from that of the neutral mol.

C.A. 1981, 95, N20.

Oct. 11 1981

$\text{HBF}_2$

Омск 12433

1981

1 Д713. Дифторборан  $\text{HBF}_2$ . Исследование методом фотоэлектронной спектроскопии и неэмпирические расчеты включая расчет поправок к теореме Купманса. Difluoroborane  $\text{HBF}_2$ . A study by HeI photoelectron spectroscopy, and ab initio methods including perturbation corrections to Koopmans' theorem. Chong D. P., Kirby C., Lau W. M.; Minato T., Westwood N. P. C. «Chem. Phys.» 1981, 59, № 1—2, 75—83 (англ.)

У, изомер,  
структур

Электронная структура нестабильной молекулы  $\text{HBF}_2$  (I) исследована методом фотоэлектронной спектроскопии. И получали 3-мя методами: а) в СВЧ-разряде  $\text{BF}_3 + \text{H}_2$ ; б) при реакции  $\text{BF}_3$  с  $(\text{HBO})_3$ ; в) при реакции  $\text{BF}_3$  с  $\text{NaBH}_4$ . Вертикальные потенциалы ионизации I равны (в эВ): 14,33; 16,14; 17,96; 18,54; 18,93; 21,03.

9. 1982, 18, N 1

ОКТ. 1984

В 3-, 4- и 6-й полосах обнаружена колебательная структура с частотами (в  $\text{см}^{-1}$ ) 950, 1025 и 1010 соответственно. Спектр I интерпретирован при помощи полуэмпирич. (в приближении MNDO) и неэмпирич. расчетов (в базисах 4—31 ГФ, СТО—3ГФ,  $7s$   $3p/3s$ ) с учетом поправок к теореме Купманса. На основе анализа эксперим. и теоретич. данных показано, что геометрия иона в основном состоянии  $^2A_1$  сильно отличается от геометрии нейтральной молекулы. Библ. 40.

Ю. В. Чижов

$\text{HBF}_2$

Отиск 12433

1981

2, ФЭС  
спектр  
стремлнц

23 Б153. Дифтоборан,  $\text{HBF}_2$ . Исследование с помощью фотоэлектронной спектроскопии с возбуждением Не-I и неэмпирических методов с учетом поправок теории возмущений к теореме Купменса. Chong D. P., Kigby C., Lau W. M., Minato T., Westwood N. P. C. Difluoroborane,  $\text{HBF}_2$ . A study by HeI photoelectron spectroscopy, and ab initio methods including perturbation corrections to Koopmans' theorem. «Chem. Phys.», 1981, 59, № 1—2, 75—83 (англ.)

Синтезирована нестабильная молекула  $\text{HBF}_2$  и измерен ее фотоэлектронный спектр (ФЭС) (источник возбуждения Не-I). Методом ССПМО ЛКАО в различных базисах сгруппированных гауссовых ф-ций рассчитано электронное строение  $\text{HBF}_2$ , и по теореме Купменса определены потенциалы ионизации (ПИ) валентных



0.11, 11814.

X, 1981, 19, № 23.

МО. В рамках теории возмущений Рэлея — Шредингера вычислены поправки к купменсовским ПИ с учетом 3-го порядка разложения теории возмущений. ПИ валентных МО в  $\text{HBF}_2$  вычислены также полуэмпирич. методом МНДП с проведением полной оптимизации геометрич. параметров. Структура эксперим. ФЭС  $\text{HBF}_2$  интерпретирована на основании данных проведенных расчетов. Хорошее соответствие между эксперим. и теор. значениями ПИ получено для 7 верхних занятых МО в расчетах методом ССП МО ЛКАО с учетом поправок к теореме Купменса и методом МНДО. Установлено, что в  $\text{HBF}_2$  не происходит нарушения теоремы Купменса для ПИ верхних МО. Эксперим. и теоретич. данные указывают на то, что в основном состоянии иона  $\text{HBF}_2^+$   ${}^2A_1$  происходит существенное увеличение длины связи ВН и увеличивается угол FHF.

И. А. Тополь

$\mu BF_2^{2+}$  Lommel 16010 1982

Молекул.  
2D-спектр,  
Экспрот.  
Структура

Chakajan B.D., Deb B.M.,  
Indian J. Pure and  
Appl. Phys., 1982, 20,  
N6, 453-462.

$MgF_2$

Omnick 15870

1982

Mahajan G.D., Deb B.M.,  
Chopra M.P., Indian J. Pure and  
Appl. Phys., 1982, 20,  
N<sup>o</sup>, 527-537.

$\mu\text{BF}_2$

1983

8 Б1112. Фотоэлектронная спектроскопия с возбуждением He-I промежуточных и неустойчивых соединений. HeI photoelectron spectroscopy of transient and unstable species. Westwood N. P. C. «Mol. Ions: Geom. and Electron. Struct. Proc. NATO Adv. Study Inst., Isle of Kos, Sept. 30—Oct. 10, 1980». New York; London, 1983, 275—278 (англ.)

Рассмотрены проблемы, специфика и нек-рые результаты исследований фотоэлектронных спектров неустойчивых молекул и радикалов, в частности  $\text{HBF}_2$ ,  $\text{HBCl}_2$ ,  $\text{HBBr}_2$  ( $\text{FBS}$ )<sub>n</sub> ( $n=1, 2, 3$ ). В. М. Ковба

фотоэлектр.  
спектр

(+3) ~~✓~~

$\text{HBCl}_2$ ,  $\text{HBBr}_2$ ,

$(\text{FBS})_n$   
 $(n = 1, 2, 3)$

X. 1984, 19, N8

*HBF<sub>2</sub>*

1983

6 Л285. HeI-фотоэлектронная спектроскопия короткоживущих и нестабильных частиц. HeI photoelectron spectroscopy of transient and unstable species. Westwood N. P. C. «Mol. Ions: Geom. and Electron. Struct. Proc. NATO Adv. Study Inst., Isle of Kos, Sept. 30—Oct. 10, 1980». New York; London, 1983, 275—278 (англ.)

Обсуждены возможности исследования нестабильных (или короткоживущих) частиц в газообразном состоянии методом УФ-молекулярной фотоэлектронной спектроскопии. Отмечено, что реактор, в котором образуются такие частицы, должен быть предельно приближен к области ионизации фотоэлектронного спектрометра. По мнению авторов, обсуждаемая отрасль фотоэлектронной спектроскопии весьма перспективна, т. к. дает прямую информацию об электронном строении «экзотич.» частиц. В качестве примеров проведен анализ HeI-фотоэлектронных спектров молекул HBF<sub>2</sub>, HBCl<sub>2</sub>, HBBBr<sub>2</sub>.

M. T.

cb. 1984, 18, N 6  
*(172)*

*HBF<sub>2</sub>*

*от. 19600*

*1984*

24 Б1321. Микроволновый спектр и постоянные центробежного искажения дифторборана, HBF<sub>2</sub>. The microwave spectrum and centrifugal distortion constants of difluoroborane, HBF<sub>2</sub>. Westwood N. P. C., Lewis-Bevan W., Gerry M. C. L. «J. Mol. Spectrosc.», 1984, № 1, 227—234 (англ.)

На штарковском МВ-спектрометре в области частот 8—36 ГГц с точностью 0,02 МГц измерены вращательные спектры двух изотопич. образцов дифторборана, H<sup>10</sup>B<sup>19</sup>F<sub>2</sub> (I) и H<sup>11</sup>B<sup>19</sup>F<sub>2</sub> (II), в основном колебательном состоянии. Идентифицировано 36 вращательных переходов I вплоть до  $J=56$ ,  $K_a=9$  и 53 вращательных переходов II вплоть до  $J=66$ ,  $K_a=11$ . Анализ спектров выполнен в приближении модели асимм. волчка с учетом квартичного и секстичного центробежного искажения и В-ядерного квадрупольного взаимодействия. Для I и II, соотв., определены вращательные постоянные (в МГц)  $A=77244,324$  и  $74494,669$ ,  $B=10495,4410$  и  $10496,8194$ ,  $C=9221,4234$  и  $9181,6129$ ,

*M. N., D<sub>i</sub>*

*X. 1984, 19, N 24*

и постоянные В-ядерного квадрупольного взаимодействия (в МГц)  $\chi_{aa} = -1,32$  и  $-0,75$ ,  $\chi_{bb} = \chi_{cc} = -13,01$  и  $-5,92$ . Расчетные частоты в пределах точности измерения хорошо согласуются с эксперим. данными. Однако между вычисленными молек. постоянными имеется сильная корреляц. зависимость. Отношение постоянных квадрупольного взаимодействия  $\chi_{cc}$  для двух изотопов  $^{10}\text{B}/^{11}\text{B}$  равно 2,142 и находится в удовлетворительном согласии с величинами их квадрупольных моментов. Полученные значения молек. постоянных согласуются с лит. данными и используются в настоящее время для анализа ИК-спектра высокого разрешения  $\text{HBF}_2$ .

С. Н. Мурзин

дел  
сли

$\text{HBF}_2$

от. 19600

1984

11 Л206. Микроволновый спектр и постоянные центробежного искажения дифторборана ( $\text{HBF}_2$ ). The microwave spectrum and centrifugal distortion constants of difluoroborane,  $\text{HBF}_2$ . Westwood N. P. C., Lewis-Bevan W., Геггу М. С. Л. «J. Mol. Spectrosc.», 1984, 106, № 1, 227—234 (англ.)

В диапазоне 8—36 ГГц исследованы микроволны спектры нестабильных молекул  $\text{H}^{10}\text{BF}_2$  и  $\text{H}^{11}\text{BF}_2$ , полученных в потоке из  $\text{BF}_3$  и  $\text{NaBH}_4$ . Идентифицированы линии вращательных переходов с  $J \leq 56$ ,  $K_a \leq 9$   $\text{H}^{10}\text{BF}_2$  и  $J \leq 66$ ,  $K_a \leq 11$   $\text{H}^{11}\text{BF}_2$  в основном колебательном состоянии. Определены значения вращательных постоянных, постоянных квартичного и секстичного центробежного искажения и постоянных квадрупольной связи ядра бора.

М. Р. Алиев

сб. 1984, 18, № 11

$\text{HBF}_2$

On. 19600

1984

101: 62866z The microwave spectrum and centrifugal distortion constants of difluoroborane,  $\text{HBF}_2$ . Westwood, N. P. C.; Lewis-Bevan, W.; Gerry, M. C. L. (Dep. Chem., Univ. Brit. Columbia, Vancouver, BC Can. V6T 1Y6). *J. Mol. Spectrosc.* 1984, 106(1), 227-34 (Eng). The microwave spectra of 2 isotopic species of the unstable mol.  $\text{HBF}_2$  were measured between 8 and 36 GHz. Transitions were measured up to  $J = 56$  and  $K_a = 9$  for  $\text{H}^{10}\text{BF}_2$ , and up to  $J = 66$  and  $K_a = 11$  for  $\text{H}^{11}\text{BF}_2$ . Improved values for the rotational consts., B nuclear quadrupole coupling consts., and quartic and sextic centrifugal distortion consts. were evaluated for both species.

HBF<sub>2</sub> CRLMP,

M.N.

c.A. 1984, 101, n8

$\text{BF}_2$

1986

107: 105263u Vibrational analysis of difluoroborane. Karunanidhi, N.; Nangai, R. Thamarai (Dep. Phys., Pres. Coll., Madras, 600 005 India). *Indian J. Phys., B* 1986, 60B(6), 536-42 (Eng). The mol. consts. of difluoroborane and its isotopes were evaluated, on the basis of the method of kinetic consts., employing an independent set of symmetry coordinates. The dependent force consts., assocd. with the FBF bond angle, was obtained in terms of those involving the independent internal coordinates. The values obtained for the mol. consts. are discussed in the light of the theor. and exptl. values reported in the literature.

Calc. NCM

III.N.

C.A. 1987, 107, n12

055 23644

1986

*HBF<sub>2</sub>*

18 Б1311. Инфракрасный спектр высокого разрешения HBF<sub>2</sub>. Полоса 4<sub>01</sub> около 926 см<sup>-1</sup>. The high-resolution infrared spectrum of HBF<sub>2</sub>. The 4<sub>01</sub> band near 926 cm<sup>-1</sup>. Гергу М. С. Л., Lewis-Bevan W., MacLennan D. J., Merer A. J., Westwood N. P. C. «J. Mol. Spectrosc.», 1986, 116, № 1, 143—166 (англ.)

В области 840—1020 см<sup>-1</sup> с высоким разрешением (0,004 см<sup>-1</sup>, фурье-интерферометр с HgCdTe-детектором многоходовая оптич. ячейка) измерена вращат. структура полосы 4<sub>01</sub> (тип C, внеплоскостное деф. кол.) в ИК-спектре поглощения газ. HBF<sub>2</sub> (I). I получали в проточной системе при пропускании BF<sub>3</sub> над нагретым (~150°) NaBH<sub>4</sub> и сразу вводили в ячейку. В линиях с высокими значениями K и J наблюдались возмущения, связанные, как предполагается, что уровнем 6<sup>1</sup>. Начало полосы 4<sub>01</sub> для H<sup>10</sup>BF<sub>2</sub> и H<sup>11</sup>BF<sub>2</sub> соотв. при 943, 74 700 и 926,06578 см<sup>-1</sup>. Приведены значения вращат. постоянных A, B, C, постоянных центробежного искажения Δ<sub>J</sub>, Δ<sub>JK</sub>, Δ<sub>K</sub>, δ<sub>J</sub>, δ<sub>K</sub>, Φ<sub>J</sub>, Φ<sub>JK</sub>, Φ<sub>K</sub>, L<sub>KKJ</sub> для обоих изотопомеров в основном состоянии и состоянии 4<sup>1</sup>.  
B. M. Kovba

(д.н.)

x.1986, 19, N 18

$\text{HBF}_2$

On. 23674

1986

( $\nu_4$ ,  $\nu_6$ )

104: 138540y The high-resolution infrared spectrum of di-fluoroborane: the  $4^1$  band near  $926 \text{ cm}^{-1}$ . Gerry, M. C. L.; Lewis-Bevan, W.; MacLennan, D. J.; Merer, A. J.; Westwood, N. P. C. (Dep. Chem., Univ. British Columbia, Vancouver, BC Can. V6T 1Y6). *J. Mol. Spectrosc.* 1986, 116(1), 143-66 (Eng). The type-C out-of-plane bending fundamental  $\nu_1$  (near  $926 \text{ cm}^{-1}$ ) in the IR spectrum of gaseous  $\text{HBF}_2$  was recorded at high resoln. Rotational and centrifugal distortion consts. were obtained for the 2 isotopic species  $\text{H}^{10}\text{BF}_2$  and  $\text{H}^{11}\text{BF}_2$  in both the ground and  $4^1$  levels. A small rotational perturbation in the  $4^1$  level of  $\text{H}^{11}\text{BF}_2$  allowed an est. of the position of the  $\nu_6$  fundamental, which so far has not been obsd. directly.

C.A.1986, 104, N16

*HBF<sub>2</sub>*

017 23644.

1986

9 Л208. ИК-спектр высокого разрешения полосы  $4_0^1$  HBF<sub>2</sub> вблизи 926 см<sup>-1</sup>. The high-resolution infrared spectrum of HBF<sub>2</sub>: the  $4_0^1$  band near 926 cm<sup>-1</sup>. Гегт у M. C. L., Lewis-Bevan W., MacLennan D. J., Мегег А. J., Westwood N. P. C. «J. Mol. Spectrosc.», 1986, 116, № 1, 143—166 (англ.)

Методом фурье-спектроскопии исследован ИК-спектр поглощения H<sup>10</sup>BF<sub>2</sub> и H<sup>11</sup>BF<sub>2</sub> при давл. ~6·10<sup>-2</sup> мм рт. ст. С разрешением ~0,004 см<sup>-1</sup> измерены положения линий, образующих структуру основной колебательно-вращательной полосы  $\nu_4$ . С привлечением данных о частотах чисто-вращательного спектра HBF<sub>2</sub> (Westwood N. P. C. et al. «J. Mol. Spectr.», 1984, 106, 227) определены положения начала полос и значения молекулярных постоянных HBF<sub>2</sub> в основном и возбужденном колебательных состояниях. Увеличивающаяся разница наблюдаемых и рассчитанных значений частот для линий с большими значениями  $J$  и  $K$  объяснена локальным взаимодействием Кориолиса между  $\nu_4$  и  $\nu_6$ .

В. К.

сб. 1986, 18, № 9

$\text{HBF}_2$

art 26000

1987

§ 9 Л180. Инфракрасный спектр высокого разрешения молекулы  $\text{HBF}_2$ : полоса  $2_0^1$  вблизи  $1164 \text{ см}^{-1}$ . The high-resolution infrared spectrum of  $\text{HBF}_2$ . The  $2_0^1$  band near  $1164 \text{ cm}^{-1}$ . Gerry M. C. L., Jemson H. M., Lewis-Bevan W., MacLennan D. J., Westwood N. P. C. «J. Mol. Spectrosc.», 1987, 122, № 1, 135—149 (англ.)

На фурье-спектрометре с разрешением  $0,004 \text{ см}^{-1}$  исследованы ИК-спектры поглощения молекул  $\text{H}^{10}\text{BF}_2$  и  $\text{H}^{11}\text{BF}_2$  в области  $1070$ — $1240 \text{ см}^{-1}$ . Идентифицирована вращательная структура полосы  $v_2$ . Анализ спектров выполнен совместно с данными по МВ-спектрам. Определены значения вращательных постоянных и постоянных квартичного и секстичного центробежного искажения для основного и возбужденного ( $v_2=1$ ) состояний.

М. Р. Алиев

М.Н.

ф. 1987, 18, № 9

*HBF<sub>2</sub>*

1987

QIT 26000

106: 128176m The high-resolution infrared spectrum of di-fluoroborane: the 2<sub>01</sub> band near 1164 cm<sup>-1</sup>. Gerry, M. C. L.; Jeanson, H. M.; Lewis-Bevan, W.; MacLennan, D. J.; Westwood, N. P. C. (Dep. Chem., Univ. British Columbia, Vancouver, BC Can. V6T 1Y6). *J. Mol. Spectrosc.* 1987, 122(1), 135-49 (Eng). The type-B totally sym. stretching fundamental ν<sub>2</sub> (at ~1164 cm<sup>-1</sup>) of HBF<sub>2</sub> was recorded. Rotational and centrifugal distortion consts. were evaluated for H<sup>10</sup>BF<sub>2</sub> and H<sup>11</sup>BF<sub>2</sub>, in both the ground and 2<sub>1</sub> levels. The spectrum was regular, with no perturbations and no new information on the position of the missing fundamental ν<sub>6</sub>.

(P<sub>2</sub>)

C.A. 1987, 106, N 16.

*HBF<sub>2</sub>*

БГГ 26000

1987

16 Б1298. Инфракрасный спектр высокого разрешения HBF<sub>2</sub>. Полоса 2<sub>0</sub><sup>1</sup> в области 1164 см<sup>-1</sup>. The high-resolution infrared spectrum of HBF<sub>2</sub>. The 2<sub>0</sub><sup>1</sup> band near 1164 cm<sup>-1</sup>. Гергу М. С. Л., Джемсон Н. М., Льюис-Беван В., МакЛеннан Д. Ж., Уествуд Н. Р. С. «J. Mol. Spectrosc.», 1987, 122, № 1, 135—149 (англ.)

В области 1070—1240 см<sup>-1</sup> с высоким разрешением (0,004 см<sup>-1</sup>) измерена вращат. структура полосы полносимм. вал. кол. ν<sub>2</sub> HBF<sub>2</sub>. Молекулы HBF<sub>2</sub> получались в проточной системе при прохождении BF<sub>3</sub> над нагретым (150° С) NaBH<sub>4</sub>. Использовалась многоходовая оптич. ячейка. Приведено положение и отнесение наблюдавшихся линий H<sup>10</sup>BF<sub>2</sub> и H<sup>11</sup>BF<sub>2</sub>. При анализе результатов использовались данные по микроволновым спектрам молекул. Начало полосы при 1192,00685 и 1164,36684 см<sup>-1</sup> для H<sup>10</sup>BF<sub>2</sub> и H<sup>11</sup>BF<sub>2</sub>. Значения (в см<sup>-1</sup>) вращат. постоянных A'', B'', C'', A', B', C' молекулы H<sup>10</sup>BF<sub>2</sub> (основное состояние и состояние ν<sub>2</sub> = 1): 2,576582; 0,3500886; 0,3075922, 2,606820; 0,3478966; 0,3056096. Приведены значения параметров центробежного искажения Δ<sub>J</sub>, Δ<sub>JK</sub>, Δ<sub>K</sub>, δ<sub>J</sub>, δ<sub>K</sub>, Φ<sub>J</sub>, Φ<sub>JK</sub>, Φ<sub>K</sub> и аналогичные данные для H<sup>11</sup>BF<sub>2</sub>.

В. М. Ковба

Х. 1987, 19, N 16

$\text{BF}_2\text{H}^+$

$(\text{HBF}_2^+)$

lom. 30490

1988

Jacob et al.,

T<sub>i</sub>, P<sub>i</sub>; J. Phys. and Chem. Ref.  
Data, 1988, 17, N<sub>2</sub>, 377.